

УДК 519.63:533:537

ЧИСЛЕННАЯ МОДЕЛЬ ЭЛЕКТРОГАЗОДИНАМИКИ АЭРОДИСПЕРСНОЙ СИСТЕМЫ НА ОСНОВЕ УРАВНЕНИЙ ДВИЖЕНИЯ ДВУХСКОРОСТНОЙ ДВУХТЕМПЕРАТУРНОЙ ГАЗОВЗВЕСИ

А. Л. Тукмаков

Институт механики и машиностроения Казанского научного центра РАН,
420111 Казань, Россия
E-mail: tukmakov@mail.knc.ru

Описана математическая модель электрогазодинамики аэродисперсной системы. Предложен численный метод решения системы уравнений и проанализирован процесс перемещения твердых заряженных аэрозольных частиц в потоке газозвеси в электрическом поле, созданном коронирующим электродом распылителя, заземленной поверхностью, на которую осуществляется напыление, и зарядом, который несут аэрозольные частицы в межэлектродном пространстве. Решение основано на использовании модели двухтемпературной двухскоростной монодисперсной среды без фазовых переходов и коагуляции в предположении, что вязкостью обладает только несущая среда, описываемая системой уравнений Навье — Стокса для сжимаемого газа. Дисперсная фаза определяется уравнением сохранения массы, уравнениями сохранения компонент импульса с учетом действия силы Кулона и аэродинамического трения и уравнением сохранения внутренней энергии. Система записывается в обобщенных координатах в безразмерной форме и решается с использованием явного метода Мак-Кормака с расщеплением по пространственным координатам и консервативной схемы коррекции. Исследованы поля скорости и плотности газозвеси в межэлектродном пространстве и вблизи поверхности, на которую напыляются твердые аэрозольные частицы в потоке газозвеси.

Ключевые слова: двухскоростная двухтемпературная монодисперсная газозвесь, электрическое поле, сила Кулона, уравнения Навье — Стокса, явная схема Мак-Кормака.

DOI: 10.15372/PMTF20150411

Введение. Модель движения газозвеси при ее распылении в электрическом поле может быть использована для описания и оптимизации ряда технологических процессов, таких как нанесение полимерных порошковых покрытий, очистка промышленных газов в электростатических фильтрах, получение сухих смесей [1]. Параметрами, определяющими характер рассматриваемых процессов, являются плотность и скорость заряженных аэрозольных частиц в межэлектродном пространстве. В свою очередь пространственные распределения средней плотности и скорости аэрозольных частиц зависят от формы электродов, геометрии межэлектродного пространства, разности потенциалов и напряженности электрического поля, скорости и концентрации несущей и дисперсной фаз в потоке, а также от размеров, плотности и заряда аэрозольных частиц. Модель процесса, учитывающая

указанные факторы, может быть построена на основе уравнений движения двухскоростной двухтемпературной среды без фазовых переходов [2], в которой учитывается воздействие на заряженную газозвесь электрического поля [1, 3], созданного как электродами, так и распределенным в межэлектродном пространстве зарядом газозвеси.

1. Уравнения движения несущей среды. С учетом межфазного обмена импульсом и энергией система уравнений движения несущей среды, в качестве которой рассматривается вязкий сжимаемый теплопроводный газ, в декартовых координатах в двумерной постановке имеет следующий вид [4]:

$$\begin{aligned} \frac{\partial \rho}{\partial t} + \frac{\partial(\rho u)}{\partial x} + \frac{\partial(\rho v)}{\partial y} &= 0, \\ \frac{\partial(\rho u)}{\partial t} + \frac{\partial}{\partial x}(\rho u^2 + p - \tau_{xx}) + \frac{\partial}{\partial y}(\rho uv - \tau_{xy}) &= -F_x + \alpha \frac{\partial p}{\partial x}, \\ \frac{\partial(\rho v)}{\partial t} + \frac{\partial}{\partial x}(\rho uv - \tau_{xy}) + \frac{\partial}{\partial y}(\rho v^2 + p - \tau_{yy}) &= -F_y + \alpha \frac{\partial p}{\partial y}, \\ \frac{\partial e}{\partial t} + \frac{\partial}{\partial x} \left((e + p - \tau_{xx})u - \tau_{xy}v + \lambda \frac{\partial T}{\partial x} \right) + \frac{\partial}{\partial y} \left((e + p - \tau_{yy})v - \tau_{xy}u + \lambda \frac{\partial T}{\partial y} \right) &= \\ &= -Q - |F_x|(u - u_1) - |F_y|(v - v_1) + \alpha \left(\frac{\partial(\rho u)}{\partial x} + \frac{\partial(\rho v)}{\partial y} \right), \\ p &= (\gamma - 1) \left(e - \rho \frac{u^2 + v^2}{2} \right), \quad e = I + \rho \frac{u^2 + v^2}{2}, \\ \tau_{xx} &= \mu \left(2 \frac{\partial u}{\partial x} - \frac{2}{3} D \right), \quad \tau_{yy} = \mu \left(2 \frac{\partial v}{\partial y} - \frac{2}{3} D \right), \quad \tau_{xy} = \mu \left(\frac{\partial u}{\partial y} + \frac{\partial v}{\partial x} \right), \quad D = \frac{\partial u}{\partial x} + \frac{\partial v}{\partial y}. \end{aligned}$$

Здесь ρ — плотность несущей среды; u, v, u_1, v_1 — составляющие скорости несущей и дисперсной фазы; e, λ, μ — полная энергия, теплопроводность и динамическая вязкость несущей фазы; величины F_x, F_y, Q определяются законами межфазного трения и теплообмена; $I = RT/(\gamma - 1)$ — внутренняя энергия газа.

2. Уравнения движения дисперсной фазы. Динамика дисперсной фазы описывается уравнениями сохранения средней плотности дисперсной фазы, компонент вектора импульса и внутренней энергии [2, 4]

$$\begin{aligned} \frac{\partial \rho_1}{\partial t} + \frac{\partial(\rho_1 u_1)}{\partial x} + \frac{\partial(\rho_1 v_1)}{\partial y} &= 0, \\ \frac{\partial(\rho_1 u_1)}{\partial t} + \frac{\partial}{\partial x}(\rho_1 u_1^2) + \frac{\partial}{\partial y}(\rho_1 u_1 v_1) &= F_x - F_{ex} - \alpha \frac{\partial p}{\partial x}, \\ \frac{\partial(\rho_1 v_1)}{\partial t} + \frac{\partial}{\partial x}(\rho_1 u_1 v_1) + \frac{\partial}{\partial y}(\rho_1 v_1^2) &= F_y - F_{ey} - \alpha \frac{\partial p}{\partial y} - \rho_1 g, \\ \frac{\partial e_1}{\partial t} + \frac{\partial}{\partial x}(e_1 u_1) + \frac{\partial}{\partial y}(e_1 v_1) &= \text{Nu} \frac{6\alpha}{(2r)^2} \lambda(T - T_1), \quad \rho_1 = \alpha \rho_{10}, \quad e_1 = \rho_1 C_p T_1. \end{aligned}$$

Здесь $\alpha, \rho_1, e_1, T_1, g$ — объемная доля, средняя плотность, внутренняя энергия, температура дисперсной фазы и ускорение свободного падения; C_p, ρ_{10} — удельная теплоемкость и плотность частиц твердой фазы; число Нуссельта определяется корреляционной зависимостью $\text{Nu} = 2e^{-M_{10}} + 0,459 \text{Re}_{10}^{0,55} \text{Pr}^{0,33}$ [2], учитывающей влияние сжимаемости газового потока на межфазный теплообмен; $\text{Re}_{10} = \rho |\mathbf{V} - \mathbf{V}_1| 2r / \mu, M_{10} = |\mathbf{V} - \mathbf{V}_1| / c$ — числа

Рейнольдса и Маха относительного движения несущей и дисперсной фаз; $Pr = C_p \mu / \lambda$ — число Прандтля; составляющие силы аэродинамического трения F_x и F_y определяются по соотношениям [2]

$$F_x = \frac{3}{4} \frac{\alpha}{2r} C_d \rho \sqrt{(u - u_1)^2 + (v - v_1)^2} (u - u_1),$$

$$F_y = \frac{3}{4} \frac{\alpha}{2r} C_d \rho \sqrt{(u - u_1)^2 + (v - v_1)^2} (v - v_1),$$

r — радиус аэрозольной частицы. Коэффициент сопротивления определяется с использованием аппроксимации $C_d = C_d^0 \psi(M_{10}) \varphi(\alpha)$ [2], где $C_d^0 = 24/Re_{10} + 4/Re_{10}^{0,5} + 0,4$; $\varphi(\alpha) = (1 - \alpha)^{-2,5}$; $\psi(M_{10}) = 1 + \exp(-0,427/M_{10}^{0,63})$ — сжимаемость газового потока. Эта аппроксимация учитывает аэродинамическое сопротивление частицы в потоке газовой взвеси. Аппроксимации для коэффициента сопротивления и числа Нуссельта справедливы в широком диапазоне относительных чисел Маха и Рейнольдса [2]: $0 \leq M_{10} \leq 2$, $0 \leq Re_{10} < 2 \cdot 10^5$.

Составляющие силы Кулона на единицу объема газовой взвеси определяются через ее удельный заряд, объемную плотность твердой фазы и напряженность электрического поля: $F_{ex} = -q_0 \rho_1 \partial \varphi / \partial x$, $F_{ey} = -q_0 \rho_1 \partial \varphi / \partial y$ (q_0 — удельный заряд единицы массы твердой фракции; φ — потенциал электростатического поля). Температура несущей среды T и внутренняя энергия взвешенной в газе твердой фазы e_1 вычисляются по соотношениям $T = (\gamma - 1)(e/\rho - (u^2 + v^2)/2)/R$, $e_1 = \rho_1 C_p T_1$. В уравнение энергии для несущей фазы входят теплопроводность газа λ и тепловой поток, возникающий за счет теплообмена между газом и частицей:

$$Q = \alpha^T 4\pi r^2 (T - T_1) n = \frac{3\alpha \alpha^T 4\pi r^2 (T - T_1)}{4\pi r^3} = \frac{3\alpha \alpha^T (T - T_1)}{r} = \frac{6\alpha Nu \lambda (T - T_1)}{(2r)^2}$$

($Nu = 2r\alpha^T/\lambda$ — число Нуссельта; n — концентрация частиц).

Система уравнений движения газовой взвеси дополнялась уравнением модели Спаларта — Аллмараса [5] для кинематической вязкости, записывалась в обобщенных криволинейных координатах и решалась с использованием явного метода Мак-Кормака второго порядка [4, 6, 7] и нелинейной схемы коррекции решения [4, 8].

3. Результаты расчетов динамики газовой взвеси в электрическом поле. На рис. 1 приведена схема расчетной области и показано расположение электродов. Распыление аэрозоля происходит через канал с сечением CC_1 . На оси симметрии расположен положительный коронирующий электрод OO_1 , к которому подводится потенциал φ_1 . Поперек

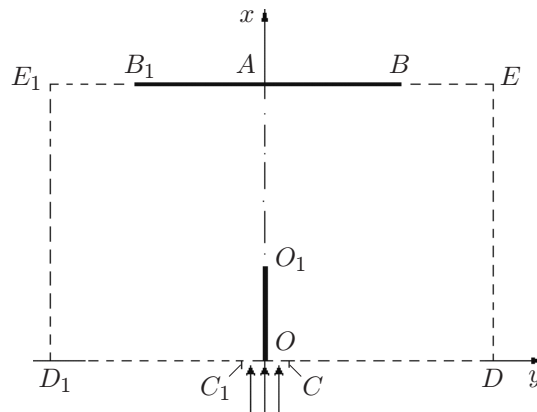


Рис. 1. Схема расчетной области

потока располагается пластина BB_1 с потенциалом φ_2 , на которую в процессе распространения аэрозоля осаждаются твердая фаза. В начальный момент времени смесь неподвижна, температуры фаз одинаковы: $T_0 = T_{10}$, плотность воздуха и объемная доля дисперсной фазы α внутри расчетной области и на ее границах заданы. Предполагается, что в условиях развитого коронного разряда процесс ионизации сосредоточен в узкой области вблизи электрода, т. е. в “оболочке” коронного разряда. Во внешней области коронного разряда, занимающей основную часть межэлектродного пространства, движутся положительные ионы [1]. В этом случае потенциал электрического поля, созданный электродами и заряженной газозвесью в межэлектродном пространстве, определяется из решения уравнения Пуассона с неоднородными граничными условиями первого рода на поверхности электродов и с однородными условиями второго рода на свободных границах расчетной области (см. рис. 1) с учетом симметрии задачи [1, 3]:

$$\Delta^2 \varphi = -\frac{q}{\varepsilon_0}, \quad \varphi = \varphi_1: (x, y) \in OO_1, \quad \varphi = \varphi_2: (x, y) \in AB, \quad \frac{\partial \varphi}{\partial x} = 0: (x, y) \in OD,$$

$$\frac{\partial \varphi}{\partial x} = 0: (x, y) \in BE, \quad \frac{\partial \varphi}{\partial y} = 0: (x, y) \in DE \cup O_1A.$$

Здесь $q = q_0 \rho_1$ — объемная плотность электрического заряда; q_0 — удельный электрический заряд единицы массы, который приобретает газозвесь в поле коронного разряда; ρ_1 — средняя плотность газозвеси; $\varepsilon_0 = 10^{-9}/(36\pi)$ — диэлектрическая постоянная, Ф/м. Распределение потенциала определяется с помощью итерационного метода Зейделя на конечно-разностной сетке, построенной для газодинамической задачи.

Предполагалось, что распыление газозвеси происходит на участке CC_1 , где задается скорость течения несущей среды. Для плотности, энергии, давления и температуры газа на поверхности электродов и внешних границах задавалось условие Неймана. Считалось, что дисперсная фаза несет положительный заряд, который она получает в поле коронного разряда вблизи электрода OO_1 вне области ионизации газа за счет присоединения к аэрозольным частицам положительных ионов [1]. Удельная плотность заряда на единицу массы газозвеси q_0 известна и является параметром технологического процесса. Для скорости частиц на поверхности электрода OO_1 задавалось условие проскальзывания, на поверхности электрода BB_1 с потенциалом φ_2 ставилось условие прилипания. Для плотности и энергии дисперсной фазы на поверхности электродов и внешних границах расчетной области ставились условия Неймана.

3.1. *Влияние заряженной дисперсной фазы на напряженность электрического поля в межэлектродном пространстве.* Исследуем влияние заряженной газозвеси на параметры электрического поля в межэлектродном пространстве. На рис. 2, а, б показаны эквипотенциальные линии и векторное поле напряженности электрического поля, полученные без учета потенциала заряженной газозвеси в случае, когда длина коронирующего электрода $|OO_1| = 0,02$ м, потенциалы электродов равны $\varphi_1 = 30$ кВ, $\varphi_2 = 0$, расстояние между электродами $|O_1A| = 0,08$ м, в поперечном направлении ширина расчетной области $|D_1D| = 0,2$ м. Наибольший потенциал $\varphi_1 = 30$ кВ локализован вблизи электрода OO_1 . На рис. 2, в, г показаны те же характеристики поля в случае, когда заряженная мелкодисперсная газозвесь со средней плотностью $\rho_1 = 0,1$ кг/м³, радиусом частиц $r = 1$ мкм и удельной массовой плотностью заряда $q_0 = 0,5 \cdot 10^{-3}$ Кл/кг равномерно заполняет межэлектродное пространство. В этом случае потенциал межэлектродного пространства выравнивается и приближается к потенциалу коронирующего электрода (рис. 3). На рис. 4 представлены распределения потенциала и напряженности электрического поля вдоль оси x с учетом и без учета наличия пространственного заряда. Наличие распределенной в пространстве газозвеси приводит к уменьшению напряженности поля вблизи коронирующего электрода OO_1 и увеличению ее вблизи электрода-мишени (см. рис. 4, б).

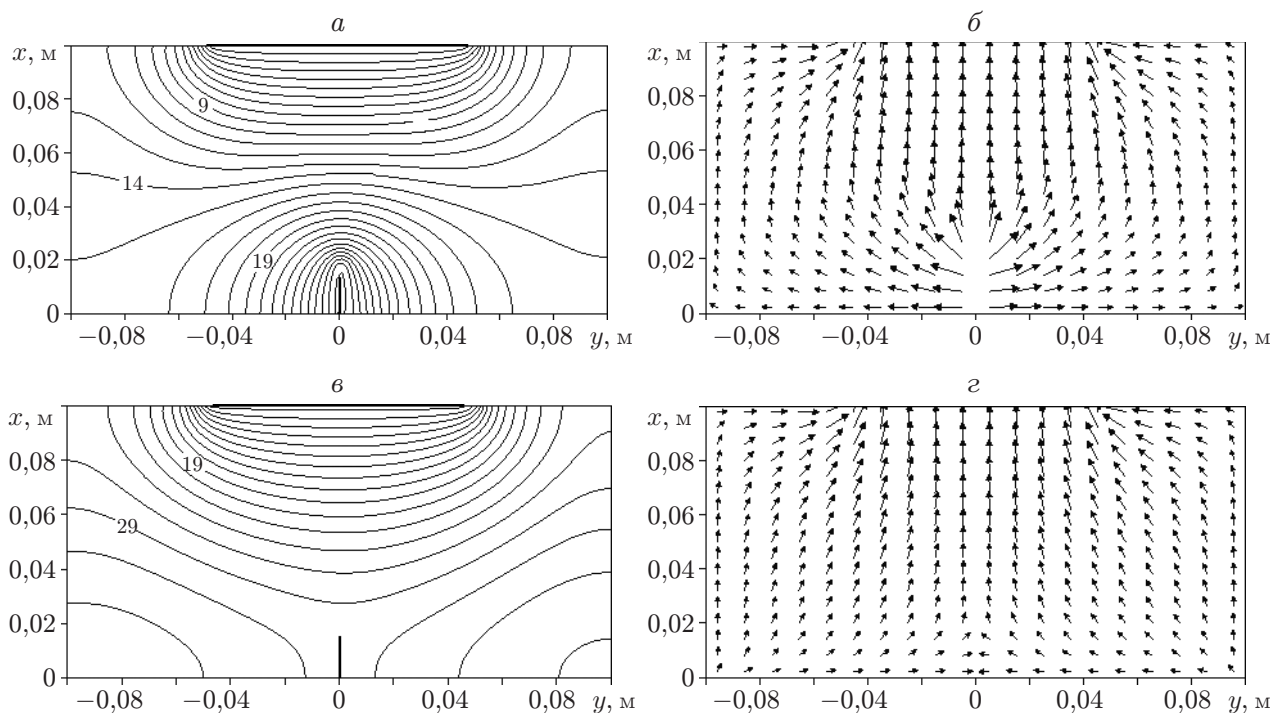


Рис. 2. Электрическое поле в межэлектродном пространстве ($\varphi_1 = 30$ кВ, $\varphi_2 = 0$):
a, б — распределение потенциала и напряженность электрического поля, созданные электродами;
в, г — распределение потенциала и напряженность электрического поля, созданные электродами и заряженной газовой средой

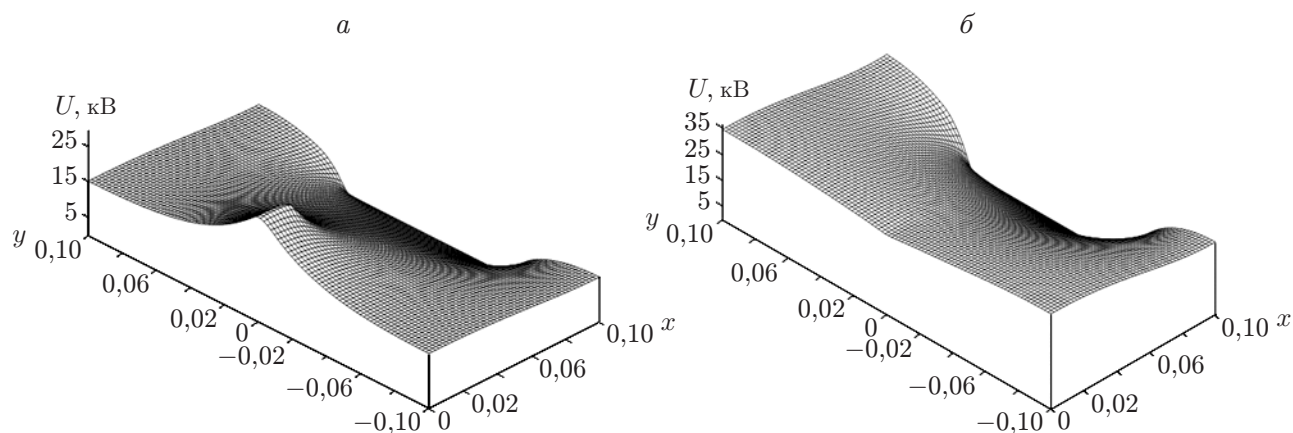


Рис. 3. Распределение потенциала электрического поля ($\varphi_1 = 30$ кВ, $\varphi_2 = 0$):
a — случай, когда поле создано электродами, *б* — случай, когда поле создано электродами и заряженной газовой средой

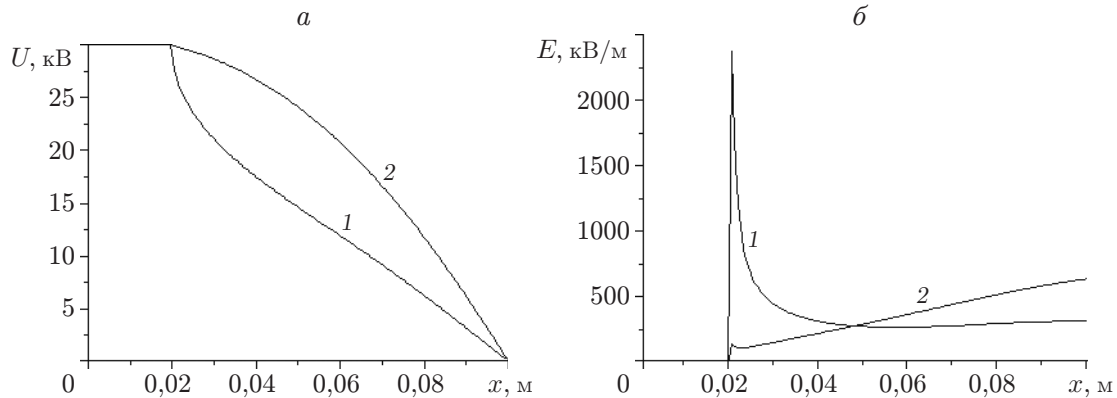


Рис. 4. Распределения потенциала (а) и напряженности электрического поля (б) вдоль оси симметрии межэлектродной области:
 1 — случай, когда поле создано электродами с разностью потенциалов 30 кВ, 2 — случай, когда поле создано электродами и заряженной газозвесью

3.2. *Движение заряженной газозвеси под действием силы аэродинамического сопротивления в электрическом поле.* Пусть на участке CC_1 продольная составляющая скорости газа $u = 0,033c$ (c — скорость звука в воздухе), поперечная составляющая $v = 0$. Начальная плотность воздуха $\rho_0 = 1,29 \text{ кг/м}^3$, температуры фаз одинаковы: $T_0 = T_{10} = 290 \text{ К}$, $c = 335 \text{ м/с}$. Начальная объемная доля твердой фазы внутри расчетной области равна $\alpha = 0,0001$ при плотности вещества фазы $\rho_{\text{ТВ}} = 1000 \text{ кг/м}^3$ и безразмерной объемной плотности $\rho_1 = 1$. На участке CC_1 во входном потоке $\rho_1 = 2$. Внутри расчетной области в начальный момент времени смесь неподвижна, потенциалы электродов $\varphi_1 = 30 \text{ кВ}$ и $\varphi_2 = 0$ заданы. Расстояние от входной границы до поверхности напыления $|OA| = 0,1 \text{ м}$, ширина пластины $|BB_1| = 0,1 \text{ м}$. Длина коронирующего электрода $|OO_1| = 0,02 \text{ м}$, ширина канала распылителя $|CC_1| = 0,005 \text{ м}$, ширина расчетной области $|DD_1| = 0,2 \text{ м}$. Расчетная область D_1E_1ED (см. рис. 1) покрывалась равномерной сеткой с числом узлов $I \times J = 200 \times 200$. При $t > 0$ газозвесь начинает втекать в расчетную область через участок CC_1 , при этом формируются поля давления, скорости и плотности фаз. На рис. 5, а, б приведены поля скоростей несущей и взвешенной фаз соответственно в момент времени $t = 0,01 \text{ с}$ для мелкодисперсной газозвеси ($r = 1 \text{ мкм}$). Несимметричность течения обусловлена воздействием силы тяжести на аэрозольные частицы. В силу малой инерционности и малой средней плотности поле скоростей дисперсной фазы идентично полю скоростей газа. Для частиц радиусом 1 мкм сила аэродинамического сопротивления даже вблизи поверхности электрода-мишени на несколько порядков превышает силу Кулона. Поэтому скорости частиц направлены по касательной к поверхности, мелкодисперсная газозвесь обтекает электрод-мишень, скорость осаждения частиц незначительна (см. рис. 5, б). На рис. 6, а показано изменение во времени поверхностной плотности дисперсной

фазы $\rho_{\text{п}}(t) = \int_0^t \rho_1 u_1 dt$ в различных точках электрода-мишени, а на рис. 6, б приведены значения интеграла по времени от потока плотности через выходную границу области включая поверхность электрода.

При увеличении радиуса аэрозольных частиц картина течения газозвеси меняется. На рис. 5, в, г показаны поля скоростей газа и дисперсной фазы ($r = 30 \text{ мкм}$). В этом случае сила Кулона вблизи поверхности превышает силу аэродинамического сопротивления, скорость осаждения частиц на поверхность существенно увеличивается. На рис. 7, а по-

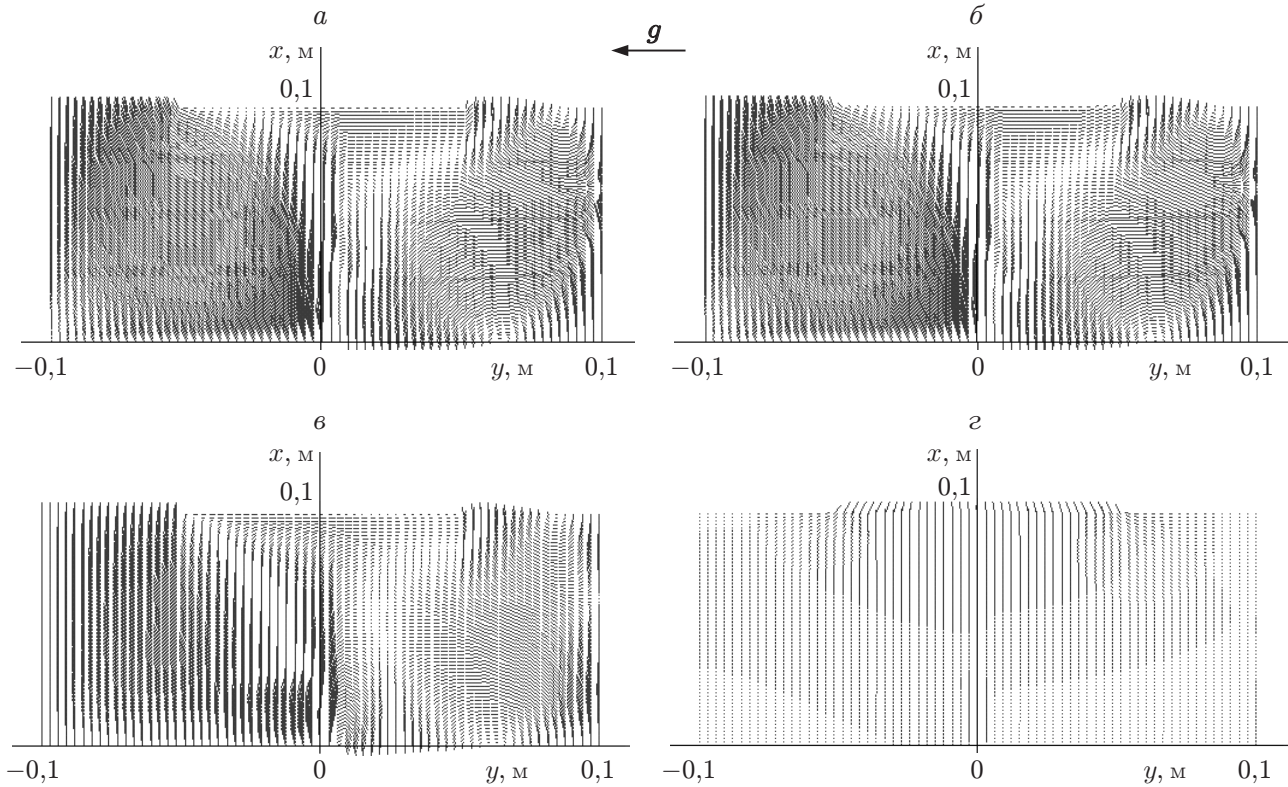


Рис. 5. Поля скоростей газа (*а, в*) и дисперсной фазы (*б, г*) в квазистационарном режиме течения:

а, б — $r = 1$ мкм; *в, г* — $r = 30$ мкм

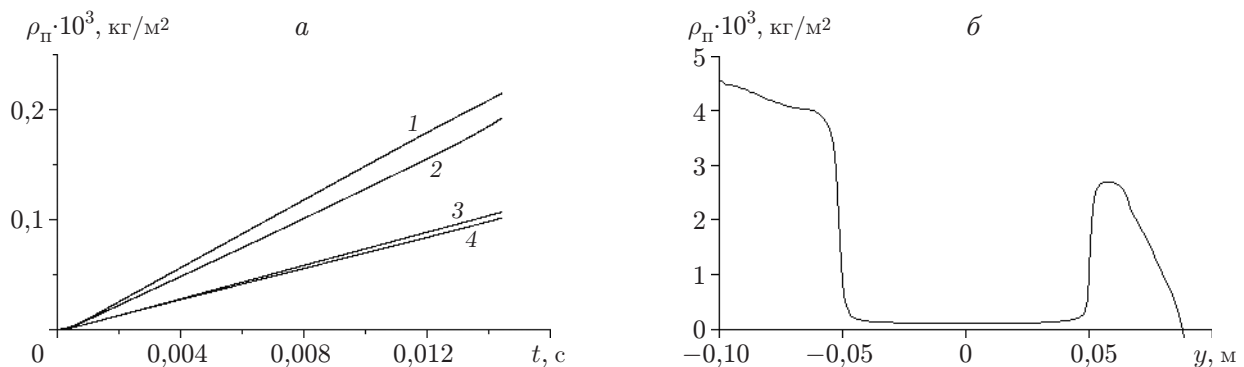


Рис. 6. Плотность газозвеси, распыляемой на поверхности электрода-мишени ($r = 1$ мкм):

а — зависимость поверхностной плотности от времени (*1* — $y = -0,045$ м, *2* — $y = 0,045$ м, *3* — $y = -0,01$ м, *4* — $y = 0,01$ м), *б* — распределение плотности на участке границы $x = 0,1$ м, $-0,05$ м $< y < 0,05$ м в момент времени $t = 0,014$ с

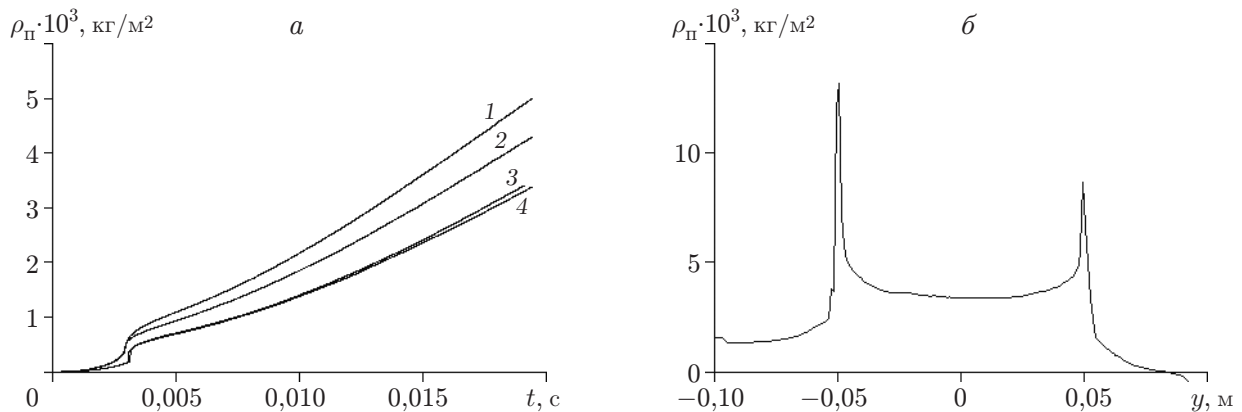


Рис. 7. Плотность газовой взвеси, распыляемой на поверхности электрода-мишени ($r = 30$ мкм):

a — зависимость поверхностной плотности от времени (1 — $y = -0,045$ м, 2 — $y = 0,045$ м, 3 — $y = -0,01$ м, 4 — $y = 0,01$ м), *б* — распределение плотности на участке границы $x = 0,1$ м, $-0,05$ м $< y < 0,05$ м в момент времени $t = 0,02$ с

казана зависимость поверхностной плотности дисперсной фазы от времени в различных точках электрода-мишени, на рис. 7,б приведены значения интеграла по времени от потока плотности через выходную границу области включая поверхность электрода. Видно, что скорость осаждения частиц радиусом $r = 30$ мкм приблизительно в 20 раз больше скорости осаждения частиц радиусом $r = 1$ мкм. Из рис. 7,б следует, что напыление крупных аэрозольных частиц происходит неравномерно: наибольшая поверхностная плотность достигается на краях пластины ($y = -0,05; 0,05$ м).

Заключение. В работе показано, что скорость осаждения твердой фазы на поверхность электрода-мишени зависит от степени ее дисперсности. Мелкодисперсная газовая взвесь движется преимущественно под действием силы аэродинамического сопротивления, и при обтекании поверхности электрода-мишени происходит незначительное осаждение на нее частиц под действием силы Кулона. С увеличением радиуса аэрозольных частиц возрастает влияние силы Кулона, которая вблизи заряженной поверхности может превышать силу аэродинамического трения. В результате частицы перемещаются вдоль касательных к силовым линиям электрического поля, оканчивающимся на поверхности электрода-мишени, скорость осаждения возрастает. Расчеты показали, что при нанесении аэрозоля на плоскую поверхность, ориентированную по нормали к оси напыления в электростатическом поле, твердая фаза наносится неравномерно и ее плотность возрастает в направлении свободной кромки, где она достигает наибольшего значения вследствие увеличения напряженности электростатического поля в этой области.

ЛИТЕРАТУРА

1. **Верещагин И. П.** Основы электрогазодинамики дисперсных систем / И. П. Верещагин, В. И. Левитов, Г. З. Мирзабекян, М. М. Пашин. М.: Энергия, 1974.
2. **Кутушев А. Г.** Математическое моделирование волновых процессов в аэродисперсных и порошкообразных средах. СПб.: Недра. С.-Петербург. отд-ние, 2003.
3. **Фальковский О. И.** Техническая электродинамика. СПб.: Изд-во "Лань", 2009.
4. **Тукмаков А. Л.** Численное моделирование колебаний монодисперсной газовой взвеси в нелинейном волновом поле // ПМТФ. 2011. Т. 52, № 2. С. 36–43.

5. **Catris S., Aupoix B.** Density corrections for turbulence models // Aerospace Sci. Technol. 2000. V. 4, N 1. P. 1–11.
6. **Флетчер К.** Вычислительные методы в динамике жидкостей. М.: Мир, 1991. Т. 2.
7. **Steger J. L.** Implicit finite-difference simulation of flow about arbitrary two-dimensional geometries // AIAA J. 1978. V. 16, N 7. P. 679–686.
8. **Жмакин А. И., Фурсенко А. А.** Об одной монотонной разностной схеме сквозного счета // Журн. вычисл. математики и мат. физики. 1980. Т. 20, № 4. С. 1021–1031.

*Поступила в редакцию 9/VII 2012 г.,
в окончательном варианте — 25/VI 2014 г.*
